

В.Н.ОГОРОДНИКОВ, В.Н.САЗОНОВ

СРАВНИТЕЛЬНОЕ ИЗУЧЕНИЕ ГЕРЦИНСКИХ ЗОЛОТОЙ И ХРУСТАЛЕНОСНОЙ МИНЕРАЛИЗАЦИЙ
НА УРАЛЕ (НА БАЗЕ ГЕОЛОГИЧЕСКОГО И ФИЗИКО-ХИМИЧЕСКОГО МОДЕЛИРОВАНИЯ)

Давно сложилось представление об антагонизме, во всяком случае пространственном, золотооруденения и кварц-жильной хрусталеносной минерализации. В последнее время нами получены материалы (при сопоставлении указанных образований герцинского возраста на Среднем и Южном Урале), свидетельствующие о сопряженном формировании первого и последней. Вскрытие причин такой сопряженности и характеристика вытекающих из нее следствий – цель настоящей информации.

Герцинский цикл на Урале подразделяется на два этапа: ранний (390–320 млн лет) и поздний (320–230 млн лет). В ранний этап в вулканогенно-осадочных комплексах, обрамляющих гнейсовые ядра, проявляется плагиогранитизация горных пород. Ею обусловлено образование метасоматических и магматических (породы прошли стадию плавления) гранитоидов с возрастом 360–320 млн лет (рис. I). Последние сопровождались активной гидротермальной деятельностью. Продукты ранней щелочной стадии (прослеживаются далеко не всегда) представлены биотитизированными и хлоритизированными породами, нередко золотоносными (рис. 2). Кислотное выщелачивание – более позднее и низкотемпературное – привело к образованию кварцевых жил, сопровождающихся березит-лиственитовыми оторочками. Растворы, обусловившие метасоматоз, были водными, хлоротигными, CO_2 -содержащими; натрий в них существенно преобладал над калием. При падении температуры раствора в нем возрастала роль бикарбонат-иона, увеличивалась активность CO_2 и сероводорода. Рудная минерализация в жилах и метасоматитах отложилась в позднюю щелочную стадию. Щелочность раствора определялась падением температуры и взаимодействием его с боковыми породами и, очевидно, связыванием CO_2 в составе карбонатов в метасоматитах. Кварцевые жилы концентрируют золото в сульфидах, реже оно встречается в самородной форме. Температура образования березитов-лиственитов $395\text{--}250^\circ\text{C}$ (см. рис. 2), кварцевых жил $360\text{--}250^\circ\text{C}$, а продуктивных минеральных ассоциаций $290\text{--}250$ и $195\text{--}140^\circ\text{C}$. Горный хрусталь образовался в кварцевых жилах в остаточных полостях (их количество с удалением от поверхности резко снижается) в кислотную стадию развития гидротермального процесса /5, 6/. В позднюю щелочную стадию на щетках горного



Рис. 1. Геолого-генетическая модель раннегерцинской золотой минерализации кварц-жильного типа, сопряженной с гранитоидами (тоналит-гранодиоритовой формации) и дайками гранитоид-порфиров:

1 - базальты, кремнистые осадки, габбро, ультрабазиты; 2 - гранитоиды тоналит-гранодиоритовой формации; 3 - дайки гранит- и плагиогранит-порфиров; 4, 5 - фации метаморфизма: 4 - зелено-сланцевая, 5 - амфиболитовая; 6 - кварцевые жилы с березит-лиственитовыми оторочками; 7 - альбит- или калишпатсодержащие кварцевые жилы с оторочками (соответственно) эйситов или гумбейтов; 8 - граница, разделяющая площади развития кварцевых и кварц-полевошпатовых жил. Указано расстояние от палеоповерхности.

Рис. 2. Зависимость состава минеральных парагенезисов раннегерцинских золоторудных месторождений кварц-жильного типа Урала от Т и pH среды минералообразования. Кривые устойчивости минералов - по /2/, на рис. 4 - то же

хрусталия отлагались сначала кальцит, затем минералы продуктивной минеральной ассоциации (пирит, галенит, сфалерит, блеклые руды и др.). В связи со сказанным самостоятельная стадия хрусталеобразования на рис. 2 не выделена.

В позднегерцинское время в гнейсовых блоках проявился зональный метаморфизм на уровне амфиболитовой фации и гранитизации /3/. При этом золото экстрагировалось из эдуктов (в гнейсах этого элемента 4 мг/т, в гранитизированных их разностях 2,3 мг/т) и переотлагалось (с концентрацией до 100 мг/т) в метавулканитах зелено-сланцевой фации гнейсового обрамления. Состав гидротерм (по результатам изучения ГКВ в минералах метасоматитов) хлоридно-натриевый, т.е. хлоритовый, как и в рассмотренном случае. Если рудоподводящая структура на нижних горизонтах рудовмещающего блока проходит через толщу карбонатных пород (рис. 3), то указанный раствор будет содержать значительное количество CO_2 и HCO_3^- (рис. 4). Геологические наблюдения за взаимоотношениями и тел метасоматитов и составом слагающих их минеральных парагенезисов отражены

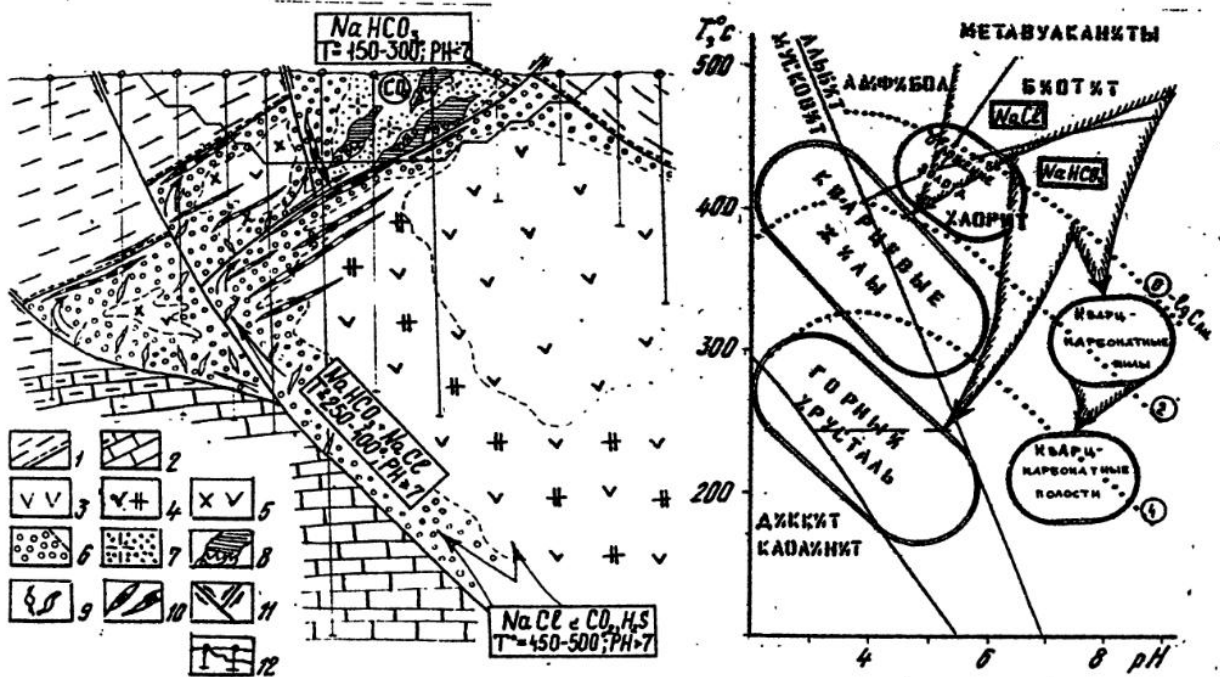


Рис. 3. Геолого-генетическая модель сопряженного формирования золото – рудной прожилково-вкрашенной и хрусталеносной кварц-жильной минерализаций позднегерцинского возраста:

I – углистые филлиты (C_I); 2 – известняки мраморизованные (C_I); 3 – метавулканиты ($O-S$); 4 – метавулканиты плагиофельдшпатизированные; 5 – мета – вулканиты биотитизированные и хлоритизированные с прожилково-вкрашенной золотой минерализацией; 6 – доломит-кварц-альбитовые метасоматиты, в приподнятом блоке обычно безальбитовые; 7 – зоны хрусталеносной аргиллизации; 8 – кварцевые жилы хрусталеносные; 9 – кварц-карбонатные гнезда с хрустальными гнездами; 10 – зоны развития золотой минерализации; II – разрывные нарушения раствороподводящие; 12 – контур эксплуатационного карьера и колонковые скважины

Рис. 4. Зависимость состава минеральных парагенезисов позднегерцинских комплексных (золото+горный хрусталь) месторождений от Т и pH среди минерало-образования

на рис. 4 в виде физико-химической модели, показывающей возможность развития гидротермального процесса двумя путями в зависимости от содержания в растворе CO_2 . Начальная температура последнего не менее 500°C (может достигать $600-620^\circ\text{C}$ /7/), pH больше 7. Такой раствор, воздействуя на породы, приводил к выносу из них кремнезема, образованию парагенезиса сине-зеленой роговой обманки с биотитом (бурый, мелкочешуйчатый). Концентрацией золота это не сопровождалось. При понижении температуры (до 450°C /3/) раствора амфибол и биотит хлоритизируются. При этом происходит концентрация золота (от I до 10 г/т и больше), что вполне согласуется с результатами изучения растворимости золота в этих условиях /I, 6/. Нижняя граница золотоносности хлоритизи-

рованных метавулканитов проводится по появлению пирротина (свидетельство повышения температуры и изменения ОИП среды).

Раствор, поднимаясь к поверхности, охлаждается и подкисляется. Здесь в зонах катаклаза он вызывает интенсивную сериптизацию и окварцевание крупных блоков пород. Внутренняя зона метасоматитов представлена двумя парагенезисами: 1) кварц+сериптит[±]кальцит, 2) кварц+сериптит+доломит-анкерит[±]кальцит. С некоторым отставанием от указанных метасоматитов формируются кварцевые жилы. Указанные парагенезисы типоморфны (соответственно) для кварц-сериптитовой и березит-лиственитовой формаций /5/ и образуются при одинаковых РТ-параметрах раствора, но при различном содержании в нем CO₂. Последнее реализуется на исследованном эталонном объекте (см. рис. 3) благодаря неравномерности катаклаза, обусловившей дифференциальное выкипание CO₂ из раствора. Теперь, если соопоставить рис. 2 и 4 с учетом всего приведенного материала, то можно заключить, что гидротермальный процесс на золоторудных жильных и хрусталеносных кварц-жильных объектах развивался принципиально одинаково.

Рассмотрим специфику развития гидротермального процесса в нижней части геологического блока, представленного на рис. 3. Здесь подвижки по зонам надвигов приводят к образованию трещин отрыва. При раскрытии трещин раствор дегазируется, давление резко падает, уменьшается растворимость кремнезема. Последний вместе с доломит-анкеритом, иногда и с альбитом, отлагается в этих структурах. Околоожильные метасоматиты представлены эйситами (кварц+доломит-анкерит+альбит). Золото концентрируется главным образом в зальбандах жил (до 0,9 г/т).

Хрусталеносная стадия проявилась на верхних горизонтах объекта-эталона (см. рис. 3). Она наложена на зоны концентрации кварцевых жил и связана с дальнейшим понижением температуры раствора. Последнее обусловило нарастание активности бикарбонат-иона, а через это - повышение щелочности раствора, что способствовало выщелачиванию кремнезема из кварцевых жил и имеющих пород, а также золота. Постепенное накопление CO₂ под экраном резко повышает кислотность раствора в полостях выщелачивания; в пространстве, примыкающем к гнездам с хрустальной минерализацией, образовались гидротермальные глины. В гнездах и окологнездовых пространствах развился слабозолотоносный (до 0,2 г/т) пирит. Образование хрусталеносных кварцевых жил сопровождается перераспределением ранее сформированных золоторудных концентраций /3, 4/. При этом в обрамлении хрусталеносных зон возникают рудные столбы.

Специализированная структурная сопряженность золотого оруденения и кварц-жильной хрусталеносной минерализации обусловлена геохимической, температурной и кислотно-щелочной эволюцией гидротерм в пространстве и времени. Важен при этом и путь эволюции (рис. 3). Необходимость использования этого факта при металлогенических исследованиях и прогнозировании очевидна.

Список литературы

I. Белеванце, В.И., Колонин Г.Р., Васильева Н.Г. и др. Возможные формы нахождения и растворимости золота в рудообразующих растворах // Гидротермальное низкотемпературное рудообразование и метасоматоз. М., 1982. С.83-117.

2. Говоров И.Н. Термодинамика ионо-минеральных равновесий. М.: Наука, 1977.

3. Огородников В.Н. Метаморфиты Джабык-Карагайского комплекса // Геология метаморфических комплексов. Свердловск, 1980. С. II0-II6.

4. Огородников В.Н. Закономерности размещения золоторудных и хрусталеносных месторождений на Южном Урале // Метаморфогенная металлогения Урала. Свердловск, 1988. С. II7-II9.

5. Сazonov В.Н. Березит-лиственитовая формация и сопутствующее ей оруденение (на примере Урала). Свердловск, 1984.

6. Сazonov В.Н. Золото в гидротермальном процессе. Свердловск : УНЦ АН СССР, 1985.

7. Сazonov В.Н., Попов Б.А., Григорьев Н.А. и др. Корово-мантийное оруденение в салических блоках эвгеосинклиналии. Свердловск: УрО АН СССР, 1989.
